

بررسی انواع روش‌های شبیه‌سازی عددی ورق‌های مربعی ایزوتروپ کاملاً گیردار و مقایسه آن با نتایج تجربی تحت بارگذاری انفجاری

وحید موسی‌بیکی ده‌آبادی^۱، جمال زمانی اشنی^{۲*}

۱- دانشجوی کارشناسی ارشد، مهندسی مکانیک، دانشگاه صنعتی خواجه نصیرالدین طوسی، تهران

۲- دانشیار، مهندسی مکانیک، دانشگاه صنعتی خواجه نصیرالدین طوسی، تهران

*تهران - صندوق پستی ۱۹۳۹۵-۱۹۹۹ zamani@kntu.ac.ir

چکیده

بررسی حالت‌های واماندگی ورق‌ها و همچنین، رفتار سازه‌های مقاوم در برابر اثر تخریبی موج حاصل از انفجار، به دلیل اهمیت آن در طراحی سازه‌های پایدار در برابر بارگذاری انفجاری، مدت‌ها است که مورد توجه پژوهشگران قرار گرفته است. در این پژوهش، به بررسی و مقایسه انواع روش‌های موجود در زمینه شبیه‌سازی عددی موج انفجار پرداخته شده و پس از بررسی آن‌ها با نتایج تجربی ورق‌های مربعی شکل ایزوتروپ کاملاً گیردار تحت بارگذاری انفجاری، روش ترکیبی (شامل ترکیب دو روش لاغرانزی- اویلری انتخابی و کاتنوب) از نقطه‌نظر دقیق در حل مسائل انفجار با درصد خطای ۸/۵۴، دارای دقیق‌ترین نسبت به هر یک از روش‌های لاغرانزی- اویلری انتخابی و کاتنوب می‌باشد. با توجه به این که در روش ترکیبی و همچنین روش کاتنوب، جرم معادل TNT برای مواد منفجره مختلف مورد نیازی باشد، ضریب ۱/۱۴ به عنوان جرم معادل TNT برای ماده منفجره C4 بررسی شده و با استفاده از نمودار تجربی فشار- زمان و رابطه تئوری فشار موج شوک در هوا، این ضریب با درصد خطای مورد قبول، تایید شد. نمودار فشار و ایمپالس بر حسب زمان برای دونوع ماده منفجره TNT و C4 با جرم یکسان مورد بررسی قرار گرفت.

اطلاعات مقاله

مقاله پژوهشی کامل

دریافت: ۱۸ اسفند ۱۳۹۲

پذیرش: ۱۸ فروردین ۱۳۹۳

ارائه در سایت: ۱۹ مهر ۱۳۹۳

کلید واژگان:

بارگذاری دینامیکی

باسخ سازه

کاتنوب

lagrangian - oileiru entxabi

شبیه‌سازی عددی

Study of Various Clamped Isotropic Square Plates Simulating Methods and Compare with Experimental Results under Explosion Loads

Vahid Moosabeiki Dehabadi¹, Jamal Zamani Ashani^{2*}

1- Department of Mechanical Engineering, K.N.Toosi University of Technology, Tehran, Iran.

2- Department of Mechanical Engineering, K.N.Toosi University of Technology, Tehran, Iran.

*P.O.B. 19395-1999 Tehran, Iran, zamani@kntu.ac.ir

ARTICLE INFORMATION

Original Research Paper

Received 09 March 2014

Accepted 07 April 2014

Available Online 11 October 2014

Keywords:

Dynamic Loading

Structural response

ConWep

ALE

Numerical Simulations

ABSTRACT

The investigation of failure modes of plates and behavior of various resistive structures to destructive effects of explosive waves, due to its importance in design of blast resistive structures, has been of interest to researchers for a long time. In this study, three different methods of numerical simulation of blast wave issues were carried out to evaluate and compare with the experimental results. As a consequence, by the means of study of clamped isotropic square plates under shockwave loading from various weight and distance of charges, the couple of ALE and ConWep methods were approved to have 8.54 per cent error in comparison with ALE and ConWep methods individually. Given that in the coupled approach and ConWep method, the equivalent weight of TNT for different types of explosives is needed, the equivalent weight of TNT for C4 was estimated by 1.14, and according to the empirical pressure-time chart and empirical equation for pressure in the air, this coefficient was proved to be right and the pressure and impulse charts for TNT and C4 explosives with the same weights was studied.

۱- مقدمه

شوک ارزیابی کرده است و این روش را برای ضریب‌های مقیاس بندی شده

برای خاک مناسب دانسته است.

کینگری و بولماش [۴]، معادلات مورد نیاز برای پیش‌بینی پارامترهای انفجار ناشی از خروج‌های کروی و نیمه کروی را با استفاده از نتایج تحقیقاتی آزمایشی استخراج کردند. این معادلات به عنوان پیش‌بینی کننده‌های دقیق مهندسی برای محاسبات فشار و بارگذاری روی سازه‌ها مورد تائید قرار گرفته‌اند و توسط کد کامپیوتوری کاتنوب توسعه داده شدند [۵]. با استفاده از

برای مدل‌سازی موج شوک و برخورد آن با سازه، استفاده از روش‌های لاغرانزی-اویلری انتخابی و کاتنوب مرسوم می‌باشد [۱-۳]. راندرز-پرسون [۱]، دقت شبیه‌سازی بارگذاری انفجاری با استفاده از روش کاتنوب را مناسب ارزیابی کرده است. بهمین صورت، وانگ [۲]، خواص ماده را با استفاده از روش شبیه‌سازی لاغرانزی-اویلری انتخابی برای بارگذاری انفجاری مورد بررسی قرار داده است. ویلیامز [۳]، روش کاتنوب را بدون الگوریتم حل موج

Please cite this article using:

V. Moosabeiki Dehabadi, J. Zamani Ashani, Study of Various Clamped Isotropic Square Plates Simulating Methods and Compare with Experimental Results under Explosion Loads, *Modares Mechanical Engineering*, Vol. 14, No. 13, pp. 315-322, 2015 (In Persian)

برای ارجاع به این مقاله از عبارت ذیل استفاده نمایید:

www.mme.ac.ir

ورق مربعی مورد نظر، در فاصله‌های 100، 150 و 200 میلی‌متری از مرکز ماده منفجره C4 با جرم 30، 45 و 60 گرم، قرار داده شده است.

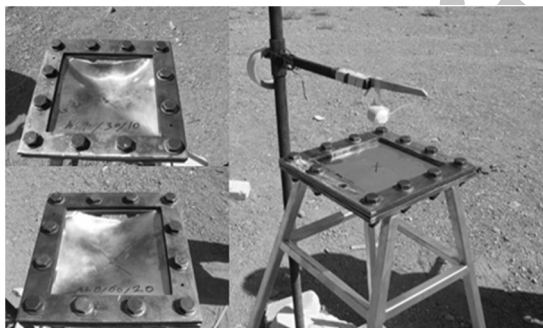
3- مشخصات مدل

مدل ورق مورد نظر، دارای ابعاد 180×180 میلی‌متر و ضخامت 2 میلی‌متر در راستای (x,y,z) شامل 2700 المان می‌باشد و در فاصله‌های 100، 150، 200 میلی‌متری مرکز ماده منفجره قرار دارد. در این آزمایش از ماده منفجره C4 با جرم 30، 45 و 60 گرم، استفاده شده است. با توجه به این که برای شبیه‌سازی موج بلاست در روش ترکیبی، نیاز به جرم معادل TNT دارد، ماده منفجره C4 نسبت به TNT میزان انرژی بیشتری با ضریب 1/14 آزاد می‌کند [4].

با استفاده از این ضریب، جرم معادل TNT به کار برد شده در این تحقیق، به ترتیب 34/2، 51/3 و 68/4 گرم می‌باشد.

3-1- نحوه مشبندی

در این قسمت، به بررسی تاثیر تعداد المان به کار رفته در ورق و همچنین، تعیین تعداد مناسب المان در ورق پرداخته می‌شود. بدین منظور، با استفاده از دو روش شبیه‌سازی ترکیبی و روش لاغرانژی-اویلری انتخابی، سعی شد تا تعداد المان بهینه تعیین شود. بدین منظور تعداد المان‌های به کار رفته در راستای طول، عرض و ضخامت ورق برای روش ترکیبی در جدول 2 و برای روش لاغرانژی-اویلری انتخابی در جدول 3 آورده شده است. لازم به ذکر است که نتایج آورده شده در جدول‌های 2 و 3، برای خیز مرکز ورق در فاصله 200 میلی‌متری از خروج با جرم 30 گرم و ورق با ابعاد $2 \times 180 \times 180$ میلی‌متر می‌باشد. همچنین، ورق به صورت یک چهارم در روش لاغرانژی-اویلری و شبیه‌سازی موج بلاست کامل در روش ترکیبی مدل شده است.



شکل 1- نحوه انجام آزمایش و نمونه‌هایی از قطعه‌های آزمایش شده

جدول 1- مشخصات هندسه و جنس ورق

0/33	ضریب پواسون
2500	مدول مماسی (MPa)
0/16	کرنش شکست
167	استحکام تسلیم (MPa)
71	مدول یانگ (GPa)
2700	(kg/m ³) چگالی
2	(mm) ضخامت
180	(mm) عرض
180	(mm) طول

کانونپ [6] می‌توان مقادیر مختلفی از بارگذاری انفجاری در هوا را مورد محاسبه قرار داد. به عبارت دیگر، این کد کامپیوتی با استفاده از اطلاعات آزمایشگاهی موجود در [7TM 5-855-1] که برای خروج‌های با جرم کمتر از 1 کیلوگرم تا بیشتر از 400000 کیلوگرم می‌باشد، محاسبات خود را انجام می‌دهد. با توجه به تحقیقات صورت گرفته توسط اسپارزا [8]، کینگری و بولماش، با استفاده از داده‌های به دست آمده از گودمن [9]، کینگری [10]، ریزلر [11] و دیویس و همکاران [12] منحنی چندجمله‌ای به دست آورده‌اند و با توجه به این منحنی‌ها، کانونپ اطلاعاتی از قبیل میزان و نوع ماده منفجره مورد نظر و همچنین فاصله خروج تا هدف را به عنوان ورودی دریافت می‌کند و با توجه به ورودی داده شده، پارامترهای مختلف بارگذاری به جز ثابت واپاشی برای فشار بازگشتی را محاسبه می‌کند. از آن جایی که کانونپ به صورت دیجیتالی داده‌ها را به طور همزمان با اطلاعات تجربی پردازش می‌کند، استفاده از پارامترهای محاسبه شده بارگذاری موج بلاست، بسیار راحت می‌باشد. به علاوه، از خطاهای احتمالی یا عدم صحت خواندن اطلاعات از نمودارهای لگاریتمی، جلوگیری می‌کند.

رابطه (1) در روش کانونپ، میزان فشار اعمالی را به بخش‌های مورد نظر مدل با توجه به زاویه برخورد موج، θ ، نشان می‌دهد.

$$(1) p = p_i (1 + \cos^2 \theta - 2\cos \theta) + p_r \cos^2 \theta$$

که p_i ، فشار برخورد و p_r ، فشار بازگشتی می‌باشد [1].

در این تحقیق، سعی شده است تا با استفاده از نتایج تجربی، انواع روش‌های لاغرانژی-اویلری انتخابی¹، کانونپ² و ترکیبی از این دو روش مورد بررسی قرار گیرد و در نهایت با مقایسه آن‌ها، مناسب‌ترین روش برای تحلیل عددی مسئله مطرح شده در این تحقیق، از نقطه نظر دقیق در حل مسئله، انتخاب شود.

2- طراحی آزمایش

با توجه به پر هزینه بودن تحقیق‌های آزمایشی و نظر به موجود بودن نتایج آزمایش‌های انجام شده توسط آزمایشگاه مکانیک انفجار دانشگاه صنعتی خواجه نصیرالدین طوسی، برای بررسی و صحبت‌سنگی تحلیل‌های عددی انجام شده در این تحقیق، در این قسمت سعی شده است تا با استفاده از نتایج به دست آمده از تحقیق‌های آزمایشی، صحبت مدل سازی ورق آلومینیوم تحت با انفجاری در محیط نرم‌افزار مورد بررسی قرار گیرد. بدین منظور، در این آزمایش‌ها، ورق‌هایی از جنس آلومینیوم سری 5000 تحت بار بلاست حاصل از انفجار خروج‌های کروی از جنس C4 قرار گرفته‌اند.

در این آزمایش، صفحه‌ها دارای ابعاد 260×260 میلی‌متر و با ضخامت 2 میلی‌متر بودند که پس از قرار گرفتن در قاب نگهدارنده، ابعاد 180×180 میلی‌متر از ورق آلومینیومی در معرض بارگذاری انفجاری قرار گرفتند. برای ایجاد شرایط تمام گیردار از دو قاب آهنه به ضخامت 10 میلی‌متر استفاده شد که پس از سوراخ‌کاری ورق‌ها و قاب، برای اتصال آن‌ها از 12 پیچ M14، همراه با دو واشر ساده فلزی و یک واشر فنری استفاده شد. نحوه انجام آزمایش و چند نمونه از قطعات آزمایش شده در شکل 1 نشان داده شده است. مشخصات هندسه و جنس ورق مورد استفاده در شبیه‌سازی عددی که ضرایب آن با استفاده از استانداردهای موجود در این زمینه و آزمون کشش ساده که در آزمایشگاه مکانیک انفجار دانشگاه صنعتی خواجه نصیرالدین طوسی به دست آمده، در جدول 1 آورده شده است.

1- Decay Constant

2- Arbitrary lagrangian eulerian (ALE)

3- Conventional weapons effects program (ConWep)

می‌باشد که در آن معادلات حالت مناسب به مواد نسبت داده می‌شود و همچنین برای کنترل رفتار انفجاری ماده منفجره، از مدل سوزش⁴ مناسب استفاده می‌شود.

با توجه به کاستی‌های دو روش لاغرانژی و اویلری، روش لاغرانژی-اویلری انتخابی به وجود آمد. این روش در واقع ترکیب هر دو روش لاغرانژی و اویلری است. در این روش، در ابتدای یک پله زمانی، ماده و مش به صورت لاغرانژی تغییر شکل می‌دهند و به دنبال آن در یک مرحله که به حرکت افقی⁵ مشهور است، مش تغییرشکل داده به همراه تمامی اطلاعات مربوطه، به مش اولیه نگاشت می‌شود.

سازه‌های مورد نظر به صورت لاغرانژی و به صورت تداخل سازه با سیال⁶ مدل می‌شود. در نرم‌افزار آل‌اس-داینا، برای انتقال فشار موج شوک به سازه از کلید CONSTRAINED_LAGRANGE_IN_SOLID⁷* استفاده می‌شود. این روش شامل انتشار یک موج شوک قوی در هوا می‌باشد و المان‌های لاغرانژی-اویلری باید به اندازه کافی کوچک باشند تا جبهه موج شوک انتقال یابد. در مواردی که فاصله خروج تا هدف زیاد باشد، هوای اطراف باید به صورت گستردۀ مدل شود. پله زمانی برای حل مسائل با توجه به اندازه کوچکترین المان تعیین می‌شود.

هوا و ماده منفجره C4 با المان‌های هشت گرهی و به کمک مدل‌های مادی هیدرودینامیکی، مدل شده‌اند. برای هوا، تعیین معادله حالت، دانسیته، ضربیت و یسکوزیتۀ ضروریست. ضربیت و یسکوزیتۀ برابر صفر تعیین شده است، چون از یسکوزیتۀ صرف‌نظر شده است و هوا توانایی انتقال فشار منفی را ندارد. معادلات حالت مورد استفاده برای هوا و خروج به ترتیب چندجمله‌ای خطی⁷ و جونز-ویکینز-لی⁸ است. برای هوا و ماده منفجره به ترتیب از مدل‌های مواد بالا⁹ و سوزش قوی ماده منفجره¹⁰ استفاده شده است. ضرایب مواد مورد استفاده برای هوا و C4 در جدول 4 آمده است.

ماده منفجره و هوا به ترتیب به صورت کره¹¹ و مکعب¹² توپر مش‌بندي شده‌اند (شکل 2). بدليل تقارن و کاهش هزینه حل، تنها یک هشتمن کره، شبیه‌سازی شده و در صفحه‌های تقارن با استفاده از تعريف شرایط مرزی (محدود کردن گره‌ها برای جابجاگی و چرخش) امکان حرکات اضافی از المان‌ها گرفته شده است. بنابراین هوا و ماده منفجره با المان‌های از نوع هشت گرهی توپر مدل می‌شوند. همچنین، در نرم‌افزار آل‌اس-داینا، برای تعريف تماس بین المان‌های هوا و ماده منفجره که از نوع لاغرانژی-اویلری انتخابی می‌باشند، از فرمولاسیون مواد چندگانه لاغرانژی-اویلری انتخابی¹³ استفاده می‌شود.

برای اعمال شرایط تقارن، درجات آزادی گره‌ها محدود شد، به طوری که گره‌های روی محور z تنها امکان حرکت در راستای y را داشتند و سایر درجات آزادی آن‌ها محدود شد و گره‌های روی صفحه yz در راستای x و دوران حول محور z و u و گره‌های روی صفحه تقارن xy در راستای z و دوران حول محورهای x و u محدود شد.

مدل ایجاد شده با استفاده از این روش در شکل 3 ارائه شده است.

جدول 2 تاثیر تعداد المان‌های ورق در میزان خیز مرکز ورق در روش ترکیبی

عرض	راستای ضخامت نرم‌افزار	نتایج تجربی و (نرم‌افزار)	خیز مرکز ورق (mm)	درصد اختلاف	تعداد المان در
30x30			21/735	2	-24/2
30x30			16/63	3	5
30x30			16/34	4	6/62
40x40			16/145	4	7/74

جدول 3 تاثیر تعداد المان‌های ورق در میزان خیز مرکز ورق در روش لاغرانژی-اویلری انتخابی

عرض	راستای ضخامت نرم‌افزار	نتایج تجربی و (نرم‌افزار)	خیز مرکز ورق (mm)	درصد اختلاف	تعداد المان در
15x15			13/265	2	24/2
15x15			16/329	3	6/69
15x15			16/516	4	5/62
20x20			16/521	4	5/59

همان‌طورکه در جدول 2 مشاهده می‌شود، خیز مرکز ورق در حالت 30x30 دارای کمترین میزان خطای با نتایج تجربی می‌باشد و همچنین، با بیشتر شدن تعداد المان‌ها، نتایج به دست آمده از نرم‌افزار تغییرات کمی داشته است.

در ادامه با توجه به جدول 3 مشاهده می‌شود که نتایج به دست آمده از نرم‌افزار در روش لاغرانژی-اویلری انتخابی در حالت 15x15 به نتایج به دست آمده از مدل‌های با تعداد المان بیشتر نزدیک می‌باشد و همچنین، نرم‌افزار در این روش به عدد 16/521 میلی‌متر برای خیز مرکز ورق در برابر بارگذاری 30 گرم ماده منفجره C4 در فاصله 200 میلی‌متری ورق همگرا می‌باشد.

بنابراین، با توجه به جدول‌های 2 و 3 مشاهده می‌شود که میزان المان در راستای طول و عرض با تعداد 30x30 و 3 المان در راستای ضخامت، دارای میزان خطای قابل قبولی از نظر میزان هزینه حل و همچنین، دقت در حل مسئله می‌باشد.

3-2- مدل مادی

از مدل مادی الاستیک-پلاستیک با سخت‌شوندگی کینماتیک¹ در روند تحلیل‌های این تحقیق استفاده شده است. این مدل مادی، برای بیان ارتباط بین تنش و کرنش در کامپوزیت‌ها، پلاستیک‌ها و فلزات در محیط نرم‌افزار آل‌اس-داینا² کاربرد دارد. ضرایب مورد نیاز برای ورق آلمینیوم در جدول 1 آورده شده است.

3-3- شبیه‌سازی به روش لاغرانژی-اویلری انتخابی

نرم‌افزار آل‌اس-داینا، روش‌های گوناگونی را برای مدل‌سازی موج شوک در هوا ارائه می‌دهد. یکی از روش‌های معمول شامل مدل‌سازی صریح³ هوا و ماده منفجره با استفاده از فرمول‌بندی چند ماده‌ای لاغرانژی-اویلری انتخابی

4- Burn model
5- Advection
6- Fluid-structure interaction (FSI)
7- Linear Polynomial
8- JWL
9- Null
10- High Explosive Burn
11- Sphere Solid
12- Box Solid
13- Multi- material ALE

1- MAT_PLASTIC_KINEMATIC (MAT_003)
2- LS-DYNA
3- Explicit

بعد از بازتاب شدن موج بلاست از سازه، زمانی که موج‌ها برهم نمی‌می‌کنند، تمرکز انرژی صورت می‌گیرد که این روش توانایی محاسبه تغییرات بعد از عبور موج شوک را ندارد.

در این روش، دیگر نیاز به مدل‌سازی هوای اطراف سازه نمی‌باشد. بنابراین از قسمت‌های مدل‌سازی هوا و خروج در شبیه‌سازی به روش لاغرانژی-اویلری انتخابی صرف‌نظر می‌شود. مدل ساخته شده با استفاده از این روش در شکل 4 ارائه شده است.

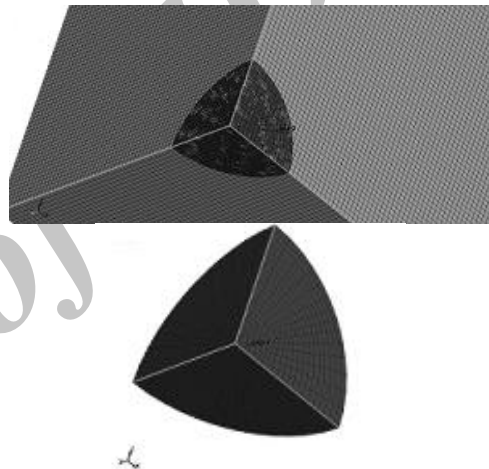
5-3- شبیه‌سازی به روش ترکیبی

برای توسعه مدل‌سازی موج بلاست با توجه به داده‌های آزمایشگاهی، به نسخه 971 نرم‌افزار آل‌اس-داننا، گزینه بارگذاری بلاست پیشرفت² اضافه شده است.

این گزینه بارگذاری تجربی موج بلاست را به طور مستقیم به المان‌های هوا و محیط لاغرانژی-اویلری انتخابی اعمال می‌کند. در اصل این روش، ترکیبی از دو روش کانوپ و لاغرانژی-اویلری انتخابی می‌باشد و برای شبیه‌سازی، تنها به مدل هوای اطراف سازه نیاز می‌باشد. فشار موج بلاست توسط قوانین تجربی به لایه‌ای از المان‌های لاغرانژی-اویلری به عنوان المان‌های محدود‌کننده³ وارد می‌شود که این لایه به عنوان منبع انرژی برای المان‌های مجاور خود می‌باشد. این لایه با ضخامت یک المان در محیط نرم‌افزار، بین سازه و ماده منفجره و در کنار محیط هوا قرار می‌گیرد و با المان‌های هشت گرهای مدل می‌شود. سپس، موج بلاست در بین المان‌های هوا گسترش می‌یابد تا سرانجام با سازه برخورد کند. در این روش، تمام قابلیت‌های روش‌های دیگر حفظ و با هم ترکیب شده‌اند و مطالعه موج شوک

جدول 4 ضرایب هوا و ماده منفجره C4 [13]

هوا	جگالی (g/cm ³)	چگالی (Mbar)
ماده منفجره C4	E_0 (Mbar)	
5/974	A (Mbar)	
1/39	B (Mbar)	
4/5	R_1	
1/5	R_2	
0/07	E_0 (Mbar)	
0/3	ω	
1/601	چگالی (g/cm ³)	
0/819	v_0 (cm/μsec)	
0/28	P_0 (Mbar)	



شکل 2 نحوه شبیه‌سازی ماده منفجره و هوا

4-3- شبیه‌سازی به روش کانوپ

یکی دیگر از روش‌های مرسوم در حل مسائل موج شوک، اعمال مستقیم فشار موج بلاست به سازه لاغرانژی و یا کانوپ می‌باشد. فشار اعمالی با توجه به معادلات تجربی تنظیم شده در قسمت بارگذاری بلاست¹ محاسبه می‌شود که این معادلات با استفاده از جمع‌آوری نتایج هزاران آزمایش انفجار ماده منفجره بدست آمده‌اند.

در این روش، از آنجایی که نیازی به مدل هوا و ماده منفجره نمی‌باشد، از المان‌های تماسی استفاده نمی‌شود و برای شبیه‌سازی موج بلاست، نیازمند ورودی‌های زیر می‌باشد:



شکل 3 مدل ساخته شده با استفاده از روش لاغرانژی-اویلری انتخابی



شکل 4 مدل ساخته شده با استفاده از روش کانوپ

2- *LOAD_BLAST_ENHANCED
3- Ambient Layer

1- *LOAD_BLAST

برای شبیه‌سازی موج انفجار با استفاده از روش ترکیبی و کانوب و همچنین، اعمال ضریب $1/14$ به عنوان جرم معادل TNT، جرم ماده منفجره به کار برد شده در این تحقیق $5224/1$ گرم می‌باشد. همان‌طور که در شکل ۶ مشاهده می‌شود، برای صحبت‌سنگی مدل به کار گرفته شده، نمودار فشار بر حسب زمان در مدت زمان 2000 میکروثانیه، مورد محاسبه قرار گرفت.

همچنین برای مقایسه، نتایج به دست آمده از آزمایش تجربی و مدل ساخته شده با روابط تئوری، بیشینه فشار به صورت تئوری از رابطه (2) ، [۱۵] محاسبه شد.

$$\begin{aligned} P_m &= 1.13S^{-2.1}, 1 \leq S \leq 10 \\ P_m &= 0.183S^{-1.16}, 10 \leq S \leq 200 \end{aligned} \quad (2)$$

که در آن، P_m ، بیشینه فشار بر حسب MPa می‌باشد و S (فاصله مقیاس‌شده) بر حسب $m^{1/3}/kg^{1/3}$ به صورت رابطه (3) تعریف می‌شود.

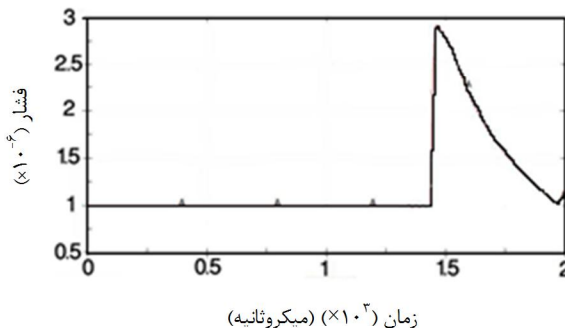
$$S = \frac{S'}{W^{1/3}} \quad (3)$$

که S' فاصله خروج از هدف بر حسب متر و W جرم ماده منفجره بر حسب کیلوگرم می‌باشد.

همان‌طور که در جدول ۵ مشاهده می‌شود، فشار موج شوک به دست آمده برای 454 گرم خروج C4 در فاصله 1524 میلی‌متری به صورت تجربی و تئوری، $2/96$ بار و همچنین فشار موج شوک به دست آمده با استفاده از شبیه‌سازی عددی، $2/92$ بار می‌باشد. در نتیجه، صحت مدل ساخته شده با $1/35$ درصد خطأ، مورد تایید قرار می‌گیرد. همچنین، با توجه به این که فشار موج شوک به دست آمده با روش تجربی برای 454 گرم ماده منفجره C4 با $5224/1$ گرم ماده منفجره TNT (جرم معادل TNT)، تقریباً مطابقت خوبی دارد، ضریب $1/14$ برای تبدیل جرم خروج C4 به معادل TNT آن، از میزان دقت مناسبی برخوردار می‌باشد.

۳-۱-۶-۳- فشار بیشینه و ایمپالس برای دو نوع ماده منفجره در فاصله‌های مختلف

در این قسمت سعی شده است تا نمودار فشار و ایمپالس برای 300 گرم ماده منفجره TNT و C4 در فاصله‌های 1000 ، 1524 و 2000 میلی‌متری با محیط واسطه هوا مورد بررسی قرار گیرد و نتایج به دست آمده با رابطه تجربی (2)



شکل ۶ نمودار فشار (مگا بار) بر حسب زمان (میکروثانیه) برای 454 گرم خروج C4 در فاصله 1524 میلی‌متری

جدول ۵ نتایج به دست آمده از نرمافزار و مقایسه آن با داده‌های تجربی و تئوری

فاصله موج شوک	اختلاف نتایج تجربی [۱۴]	
	تجربی (بار)	تحلیل عددی (%)
شکل ۶	$2/92$	$2/95$
شکل ۷	$2/96$	$1/35$

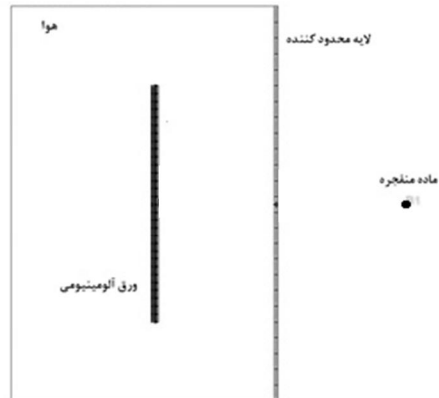
را برای مسافت‌های دور و همچنین بدون نیاز به مدل کردن حجم هوای زیاد میسر می‌کند.

مدل ترکیبی در شکل ۵ به صورت شماتیک نشان داده شده است. سازه مورد نظر توسط المان‌های هوا احاطه شده است و بین سازه و سیال، با استفاده از کلید CONstrained_LAGRANGE_IN_SOLID کنترل صورت می‌گیرد. همان‌طور که در شکل ۵ مشاهده می‌شود، المان‌های هوای اطراف ورق دارای ابعاد 250×250 میلی‌متر در راستای x و y و 50 میلی‌متر در راستای z می‌باشد. ضرایب به کار رفته برای مدل هوای اطراف ورق در جدول ۴ آورده شده است. برای اعمال شرایط کاملاً گیردار در لبه، کلیه درجات آزادی گرههای لبه خارجی ورق محدود می‌شود.

برای تعریف لایه محدود کننده، ابتدا باید توجه کرد که برای هر یک از المان‌های لاغرانژی-اویلری که شامل المان‌های هوا و لایه محدود کننده می‌باشد، فرمولاسیون المان شماره 11 مورد استفاده قرار می‌گیرد و همچنین برای مدل هوا که از قوانین گازهای ایده‌آل پیروی می‌کند، از معادله حالت چند جمله‌ای خطی استفاده می‌شود. برای کاهش هزینه در شبیه‌سازی در این روش، از زمان شروع منفی 30 میکروثانیه استفاده شده است. استفاده از زمان شروع منفی سبب می‌شود تا در آغاز محاسبات، موج شوک به طور ناگهانی با محیط محدود کننده برخورد نماید و شبیه‌سازی ناحیه مدنظر از همان ابتدا صورت پذیرد. با این ویژگی، در زمان لازم برای رسیدن موج شوک به ناحیه مورد نظر صرفه‌جویی شده و در نتیجه، باعث کاهش هزینه در زمان حل می‌شود.

۳-۶- صحبت‌سنگی جرم معادل TNT برای ماده منفجره C4 با توجه به این که برای شبیه‌سازی ماده منفجره در روش کانوب و ترکیبی، به جرم معادل TNT ماده منفجره مورد نظر نیاز می‌باشد، در این قسمت سعی شده است تا با استفاده از نتایج تجربی به دست آمده توسعه آlia و سولی [۱۴]، ضریب $1/14$ به عنوان جرم معادل TNT برای ماده منفجره C4 بررسی شود و همچنین، با توجه به روابط تئوری برای جرم مشخص ماده منفجره C4 فاصله‌های مختلف مورد صحبت‌سنگی قرار گیرد.

در آزمایش تجربی انجام شده [۱۴]، از ماده منفجره کروی شکل C4 به میزان 454 گرم و شعاع $40/07$ میلی‌متر استفاده شده است و بیشینه فشار در فاصله 1524 میلی‌متر به میزان $2/96$ بار اندازه‌گیری شده است. با توجه به این که ماده منفجره C4 نسبت به TNT میزان انرژی بیشتری آزاد می‌کند،



شکل ۵ مدل ورق الومینیوم در محیط هوا با استفاده از روش ترکیبی

ترکیبی به طور میانگین دارای 8/54 درصد خطا، روش کانوپ به طور میانگین دارای 9/88 درصد خطا و روش لاگرانژی-اویلری انتخابی دارای 9/27 درصد خطا با نتایج تجربی می‌باشدند. همچنین، با توجه به نتایج بدست آمده از روش کانوپ و مقایسه آن با روش‌های دیگر، می‌توان نتیجه گرفت که این روش در حل مسائل انفجار در فواصل دور از دقت بهتری برخوردار است و می‌تواند جایگزین روش‌های ترکیبی و لاغرانژی-اویلری انتخابی باشد.

در ادامه به بررسی نتایج بدست آمده از روش ترکیبی پرداخته شده است و نحوه پیش‌بینی جابه‌جاوی مرکز ورق تحت بارگذاری انفجاری و همچنین، نحوه تغییر شکل ورق تحت بارگذاری بلاست پرداخته شده است.

در شکل 7، نمودار جابه‌جاوی ورق نسبت به زمان بارگذاری و در شکل 8. نحوه تغییر شکل ورق در مقابل بارگذاری 30 گرم ماده منفجره C4 از فاصله 200 میلی‌متری، ارائه شده است.

همان‌طور که در شکل 8 مشاهده می‌شود، حالت واماندگی ورق از نوع تغییر شکل بزرگ پلاستیک می‌باشد. در شکل 9، نمودار جابه‌جاوی ورق نسبت به زمان بارگذاری و در شکل 10، نحوه تغییر شکل ورق در مقابل بارگذاری 60 گرم ماده منفجره C4 از فاصله 200 میلی‌متری، ارائه شده است.

مقایسه شود. بدین منظور، نتایج بدست آمده از تحلیل عددی و رابطه تجربی، در جدول 6 آورده شده است.

با توجه به جدول 7، مشاهده می‌شود که بیشینه فشار حاصل از انفجار خرج C4 در تحلیل عددی، به طور میانگین 1/07 برابر بیشینه فشار حاصل از انفجار خرج TNT می‌باشد و همین نسبت برای بیشینه فشار بدست آمده از نتایج تئوری برابر با 1/096 می‌باشد. با توجه به نتایج بدست آمده از تحلیل عددی، می‌توان گفت که مدل به کار رفته در این تحقیق دارای دقت بسیار خوبی برای پیش‌بینی فشار حاصل از موج شوک را دارد می‌باشد و ضریب 1/14 برای جرم معادل TNT ماده منفجره C4، ضریب مناسبی می‌باشد.

4- بحث و نتایج

در این قسمت نتایج بدست آمده از شبیه‌سازی عددی با نتایج تجربی به دست آمده در این تحقیق با یکدیگر مقایسه می‌شود. بدین منظور، تنظیمات آزمایش، بیشینه خیز ماندگار ورق و درصد اختلاف بیشینه خیز ورق میان نتایج تجربی و تحلیل عددی در جدول 7 آمده است.

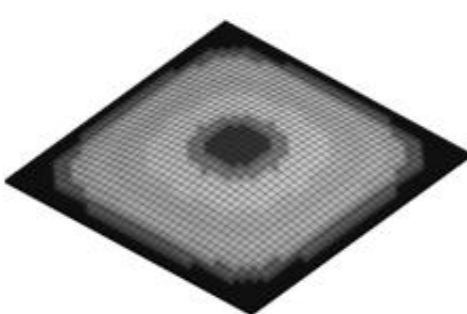
همان‌طور که در جدول 7 مشاهده می‌شود، نتایج بدست آمده از روش

جدول 6 مقایسه فشار و ایمپالس بدست آمده از شبیه‌سازی و رابطه تئوری برای 300 گرم خرج TNT و C4

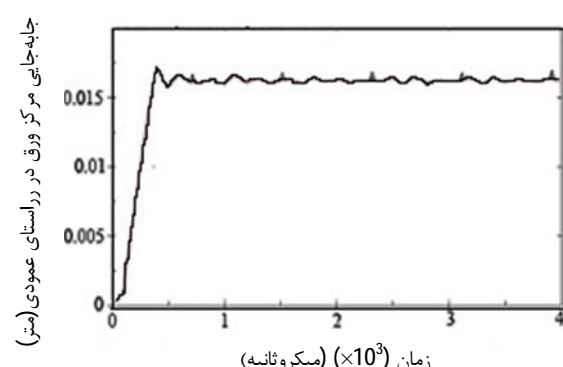
P_{C4}/P_{TNT}	I_{C4}/I_{TNT}	P_{C4}/P_{TNT}	ایمپالس (یار \times میکروثانیه)	فشار- تئوری (بار)	فشار- تحلیل عددي (بار)	فاصله (میلیمتر)	جرم (گرم)	ماده منفجره
1/097	1/07	1/07	0/000660 0/000615	5/33 4/86	4/73 4/42	1000	300	C4
1/096	1/15	1/09	0/000280 0/000242	2/2 2/01	2/50 2/29	1524	300	C4
1/096	1/22	1/05	0/000166 0/00136	1/24 1/13	1/89 1/80	2000	300	C4
								TNT

جدول 7 تنظیمات آزمایش، بیشینه خیز ورق، نوع تغییر شکل ورق و درصد اختلاف بیشینه خیز ورق نتایج تجربی و تحلیل عددی

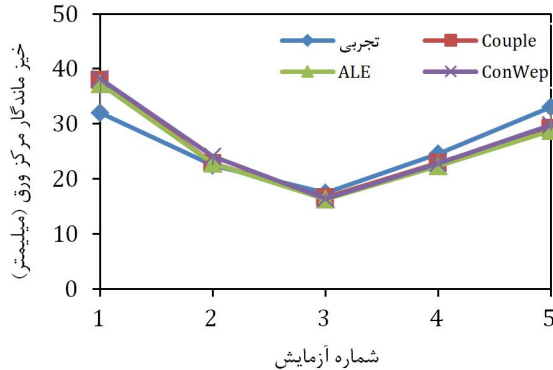
شماره	C4 (گرم)	فاصله خرج از ورق (میلیمتر)	خیز مرکز ورق تجربی (میلیمتر)	نوع تغییر شکل ورق - تجربی	خیز مرکز ورق - تجربی	خیز مرکز ورق - تجربی	خیز مرکز ورق کانوپ	خیز مرکز ورق ترکیبی	% خطأ	(میلیمتر)	% خطأ	(میلیمتر)	% خطأ	(میلیمتر)	% خطأ	(میلیمتر)	% خطأ	(میلیمتر)	% خطأ
1	30	100	32	پارگی از ناحیه تکیه‌گاه	-	-	-	-	-	37/95	-19/2	38/14	-16/43	37/26	-	-	-	-	-
2	30	150	22/5	تغییر شکل بزرگ پلاستیک	-	-	-	-	-	22/81	-7/01	24/08	-1/52	22/84	-	-	-	-	-
3	30	200	17/5	تغییر شکل بزرگ پلاستیک	-	-	-	-	-	16/63	6/23	16/41	6/69	16/33	-	-	-	-	-
4	45	200	24/5	تغییر شکل بزرگ پلاستیک	-	-	-	-	-	22/94	7/09	22/76	8/74	22/36	-	-	-	-	-
5	60	200	33	پارگی از ناحیه تکیه‌گاه	-	-	-	-	-	29/25	9/87	29/74	16/97	28/72	-	-	-	-	-



شکل 8 نحوه تغییر شکل ورق در مقابل بارگذاری 30 گرم خرج C4 در فاصله 200 میلی‌متری



شکل 7 جابه‌جاوی مرکز ورق (متر) نسبت به زمان برای 30 گرم خرج C4 از فاصله 200 میلی‌متری



شکل ۱۲ مقایسه نتایج شبیه‌سازی عددی و نتایج تجربی خیز ماندگار ورق

می‌شود، نتایج تجربی و تحلیل عددی در روش ترکیبی به‌طور میانگین دارای $8/54$ درصد اختلاف، در روش ALE به‌طور میانگین $9/27$ درصد و در روش کاتوپ به‌طور میانگین $9/88$ درصد اختلاف می‌باشند. با توجه به مطابقت خوب میان نتایج تجربی و نتایج بدست آمده از تحلیل عددی، می‌توان استنتاج کرد که روش ترکیبی برای محاسبه تغییر شکل ورق‌های مربعی ایزوتروپ کاملاً گیردار از دقت خوبی برخوردار بوده و می‌توان از آن برای تحلیل بهم‌کنش موج بلاست و ورق‌های موردنظر استفاده کرد. همچنین، از آن جا که در روش ترکیبی و لگرانژی-اویلری انتخابی، هوای اطراف سازه مدل می‌شود، می‌توان رفتار موج شوک بعد از برخورد را مورد مطالعه قرار داد.

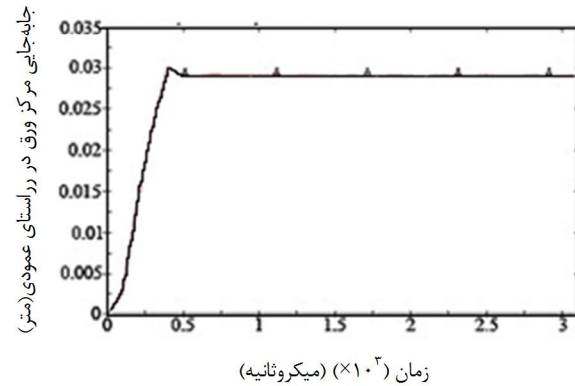
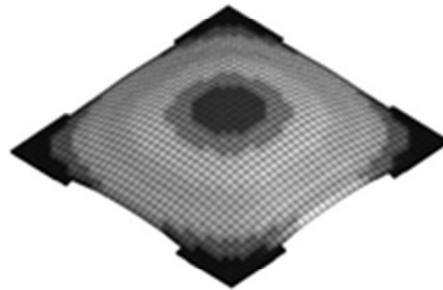
۵- نتیجه‌گیری

بر اساس مطالعات و پژوهش‌های صورت گرفته و با جمع‌بندی نتایج بدست آمده در این تحقیق، نتایج کلی زیر را می‌توان استنتاج کرد:

- ۱ به لحاظ سادگی در مدل‌سازی، روش کاتوپ دارای مدل‌سازی ساده‌تری می‌باشد.
- ۲ روش ترکیبی از نظر دقت در حل مسئله ورق‌های ایزوتروپ مربعی شکل، از دقت بالاتری نسبت به روش‌های دیگر برخوردار می‌باشد.
- ۳ سه روش به کاربرده شده در این تحقیق، قابلیت پیش‌بینی نحوه پارگی در ورق را دارا می‌باشند.
- ۴ روش کاتوپ توانایی پیش‌بینی رفتار موج شوک بعد از برخورد با سازه را دارا نمی‌باشد و برای تعیین رفتار موج شوک بعد از برخورد، می‌توان از روش‌های ترکیبی و ALE استفاده کرد.
- ۵ مقدار $1/14$ به عنوان جرم معادل TNT ماده منفجره C4 در شبیه‌سازی عددی موج انفجار در هوا، از دقت مناسبی برخوردار می‌باشد.

۶- مراجع

- [1] B. Randers-Pehrson, *Airblast Loading Model for DYNA2D and DYNA3D*, ARL-TR-1310, 1997.
- [2] J. Wang, *Simulation of Landmine Explosion Using LS-DYNA3D Software: Benchmark Work of Simulation of Explosion in Soil and Air*, DSTO Aeronautical and Maritime Research Laboratory, Fishermans Bend, Victoria, Australia, 2001.
- [3] K. Williams, Validation of a Loading Model for Simulating Blast Mine Effects on Armoured Vehicles, in *The 7th International LS-DYNA Users Conference*, Dearborn, 2002.
- [4] C. N. Kingery, G. Bulmash, *Airblast Parameters from TNT Spherical Air Burst and Hemispherical Surface Burst*, Aberdeen Proving Ground, MD: ARBRL-TR-02555, 1984.
- [5] D. Hyde, *User's Guide for Microcomputer Programs ConWep and FUNPRO-Applications of TM 5-855-1*, Vicksburg: U.S. Army Engineering Waterways Experimental Station, 1988.

شکل ۹ جابه‌جایی مرکز ورق (متر) نسبت به زمان برای 60 g خرج C4 از فاصله 200 میلی‌متر شکل ۱۰ نحوه تغییر شکل ورق در مقابل بارگذاری 60 g خرج C4 در فاصله 200 میلی‌متر

همان‌طور که در شکل ۱۰ مشاهده می‌شود، المان‌های موجود در لبه ورق حذف شده‌اند و ورق از ناحیه تکیه‌گاه دچار پارگی شده است که این نتیجه با نتایج تجربی موافق است. در شکل ۱۱، نمونه آزمایش شده در مقابل بارگذاری انفجاری خرج 60 g گرمی از فاصله $200\text{ میلی‌متری آورده$ شده است. در شکل ۱۱، نحوه تغییر شکل نمونه آزمایش شده ورق آلومنیومی در مقابل بارگذاری انفجاری خرج 60 g گرمی در فاصله $200\text{ میلی‌متری آورده$ شده است. همان‌طور که مشاهده می‌شود، ورق از ناحیه تکیه‌گاه دچار پارگی شده است که با توجه به شکل ۱۰، نحوه تغییر شکل ورق با استفاده از شبیه‌سازی عددی پیش‌بینی شده است. عدم تقارن در تغییر شکل ورق آزمایش شده می‌تواند متأثر از شرایط تکیه‌گاه، کروی نبودن خرج انفجاری و همچنین، در مرکز نبودن خرج انفجاری باشد.

در شکل ۱۲ نتایج حاصل از تحقیق‌های آزمایشی و نتایج حاصل از شبیه‌سازی عددی با هم مقایسه شده‌اند. همان‌طور که در جدول ۶ مشاهده

شکل ۱۱ نمونه آزمایش شده ورق آلومنیوم در مقابل بارگذاری انفجاری 60 g خرج از فاصله 200 میلی‌متر

- [12] V. W. Davis, T. Goodale, K. N. Kapla, A. R Kriebel, H. B. Mason, J. F. Melichar, P. J. Morris, J. N. Zaccor, *Nuclear Weapons Blast Phenomena, Vol. IV- Simulation of Nuclear Airblast Phenomena with High Explosives(U)*, DASA report 1200-IV, Washington, DC, 1973.
- [13] C. M. Kaurin, M. O. Varslot, *Blast loading on square steel plates; a Comparative Study of Numerical Methods*, M. Sc. Thesis, Department of Structural Engineering, NTNU- Norwegian University of Scienc, 2010.
- [14] A. Alia, M. Souli, High Explosive Simulation Using Multi-Material Formulations, *Applied Thermal Engineering*, Vol. 26, pp. 1032-1042, 2006.
- [15] F.D. Alonso, E.G. Ferradás, J.F. Sánchez Pérez, A.M. Aznar., J.R. Gimeno, J.M. Alonso, Characteristic overpressure–impulse–distance curves for the detonation of explosives, pyrotechnics or unstable substances. *Journal of Loss Prevention in the Process Industries*, Vol. 6, No.19, pp. 724-728, 2006.
- [6] D. W. Hyde, *ConWep: Conventional Weapons Effects Program*, Vicksburg, MS: U. S. Army, 2005.
- [7] TM5-855-1, *Fundamentals of Protective Design for Conventional Weapons*, Washington, DC: U. S. Department of the Army, 1986.
- [8] E. D. Esparza, Blast Measurements and Equivalency for Spherical Charges at Small Scaled Distances, *International Journal of Impact Engineering*, Vol. 4, pp. 23-40, 1986.
- [9] H. J. Goodman, *Compiled Free Air Blast Data on Bare Spherical Pentolite*, BRL report 1092, Aberdeen Proving Ground, MD, 1960.
- [10] C. N. Kingery, *Air Blast Parameters Versus Distance for Hemispherical TNT Surface Bursts*, BRL report 1344, Aberdeen Proving Ground, MD, 1966.
- [11] R. Reisler, B. Pellet, L. Kennedy, *Air burst data from height-of-burst studies in Canada, Vol. II: HOB 45.4 to 144.5 feet*. BRL report 1990, Aberdeen Proving Ground, MD, 1977.

Archive of SID